



Ferdowsi University
of Mashhad

Journal of Metallurgical and Materials Engineering

<https://jmme.um.ac.ir>



Iron&Steel
Society of Iran

Investigation of the oxidation resistance of the four-component composite HfB₂-HfC-TiC-B₄C

Research Article

Parisa Chenari¹, Zohre Balak² , Vahideh shahedifar³

DOI: [10.22067/jmme.2025.89633.1155](https://doi.org/10.22067/jmme.2025.89633.1155)

1- Introduction

Compounds such as diborides, carbides, and nitrides of transition metals from groups 4 and 5 of the periodic table that have melting temperatures above 3000°C are known as ultra-high temperature ceramics (UHTCs). Among the family of ultra-high temperature ceramics, diborides such as zirconium diboride (ZrB₂) and hafnium diboride (HfB₂) have a unique combination of mechanical and physical properties including high melting point (melting point above 3000 °C), high electrical and thermal conductivity, chemical neutrality towards molten metals, and high thermal shock resistance. Hence, they are more attractive options for high temperature structural applications at temperatures greater than or equal to 2000 °C. Given that on the one hand, transition metal diborides such as HfB₂ are an attractive choice for very high temperature applications and on the other hand, their carbides have a very high melting point (about 3900 °C), this study investigated the oxidation resistance of the four-component boride-carbide composite HfB₂-HfC-TiC-B₄C with and without the presence of niobium additive. For this purpose, four composites with molar ratios of 1:1:1:1 and 7:1:1:1 were sintered with and without the addition of 2 wt.% niobium using spark plasma. Since one of the methods for evaluating the oxidation resistance of ceramics is to measure their weight changes, the oxidation resistance of the sintered samples was evaluated using simultaneous thermogravimetric analysis (TGA) and differential thermal analysis (DTA) up to 1200 °C.

2- Experimental Procedure

In this study, initial powders of HfB₂ (with an average particle size of 1 μm), HfC (with a particle size smaller than 1 μm), TiC (with a particle size smaller than 10 μm), B₄C (with an average particle size of 10 μm), and Nb (with a particle size of 15 μm) were prepared. Then, four composites with chemical composition of 70 vol% HfB₂-10 vol% HfC-10 vol% TiC-10 vol% B₄C, 25 vol% HfB₂-

25 vol% HfC-25 vol% TiC-25 vol% B₄C, 70 vol% HfB₂-10 vol% HfC-10 vol% TiC-10 vol% B₄C with 2 wt% niobium and 25 vol% HfB₂-25 vol% HfC-25 vol% TiC-25 vol% B₄C with 2 wt.% niobium were sintered by spark plasma method and named as 7HHTB, HHTB, 7HHTB/Nb and HHTB/Nb respectively. After weighing the initial powders, the milling process was carried out for three hours in wet form. The samples were sintered using spark plasma at 2000 °C for 20 min and under a pressure of 40 MPa in a graphite mold with a diameter of 15 mm. The relative density of the samples was measured by the Archimedes method. To evaluate the thermal behavior of the samples, simultaneous thermal analysis (STA) including thermogravimetric and differential temperature tests in air atmosphere with a flow rate of 10 ml/min was used. For this purpose, the samples were heated from 50 to 1200 °C at a heating rate of 15 °C/min and then held at the final temperature for 20 min. Also, the microstructure of the samples before and after oxidation was studied by scanning electron microscopy (SEM). In addition, X-ray diffraction (XRD) analysis was used to identify the oxide phases formed. The prediction and probability of thermodynamic reactions were also investigated by HSC software.

3- Results and Discussion

Figure 1 shows the microstructure of all composite samples after the sintering process. As can be seen, the HHTB/Nb sample has a denser microstructure than the other composites, which is consistent with the relative density values obtained for it (Table 1).

*Manuscript received August 30, 2024, Revised February 16, 2025, Accepted June 27, 2025.

¹ P.hd Student, Department of Materials Science and Engineering, Ahvaz Branch, Islamic Azad University, Ahvaz, Iran.

² Corresponding Author: Associate Professor, Department of Materials Science and Engineering, Ahvaz Branch, Islamic Azad University, Ahvaz, Iran. Email: zbalak1983@gmail.com

³ Assistant Professor, Department of Materials Science and Engineering, Faculty of Engineering, Urmia University, Urmia, Iran.

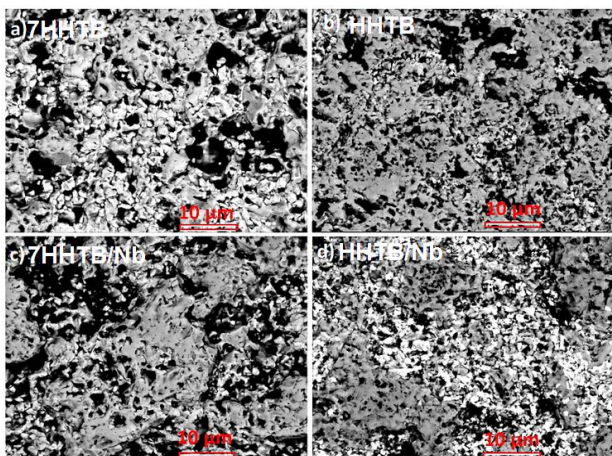


Figure 1: Scanning electron microscope images of the microstructure of composite samples sintered at 2000 °C.

Table 1: Relative density values of sintered samples at 2000 °C

HHTB/Nb	7HHTB/Nb	HHTB	7HHTB	Sample
99.4±0.2	98.8±0.5	97.7±0.5	97.1±0.3	R.D%

The XRD patterns of all samples after oxidation to 1200 °C and holding at this temperature for 20 minutes are presented in Figure 2. It can be seen that in all four samples, the identified phases include hafnium oxide and boron oxide. According to thermodynamic studies using HSC software, the initial phases HfB₂, HfC, TiC, B₄C and Nb in the mentioned temperature range, during reactions (1) to (7), cause the formation of oxide phases HfO₂, TiO₂, B₂O₃, Nb₂O₃ or Nb₂O₅ and carbon monoxide or carbon dioxide gas. It should be noted that the presence of the aforementioned initial phases in the sintered samples has been confirmed by XRD analysis in the authors' previous paper [4]. While, in the XRD patterns obtained after oxidation, only the oxide phase of HfO₂ and a small amount of the B₂O₃ phase were detected, and none of the TiO₂, Nb₂O₃ or Nb₂O₅ phases were detected. According to reaction (8), B₂O₃ is evaporated at temperatures above 1100°C [5] and as a result, the oxide phase of B₂O₃ does not remain in the microstructure of the samples or remains in a small amount.

In the case of the oxide phases Nb₂O₃ or Nb₂O₅, due to the small amount of niobium raw material (2 wt.%), it is not possible to identify these phases by XRD analysis. The oxide phase TiO₂ is also not detected by XRD analysis, since TiC penetrates into the crystal lattice of HfB₂ and HfC and forms a solid solution [4]. Therefore, during the oxidation process, the solid solution is actually oxidized and the titanium oxide phase is dissolved in hafnium oxide and cannot be identified.

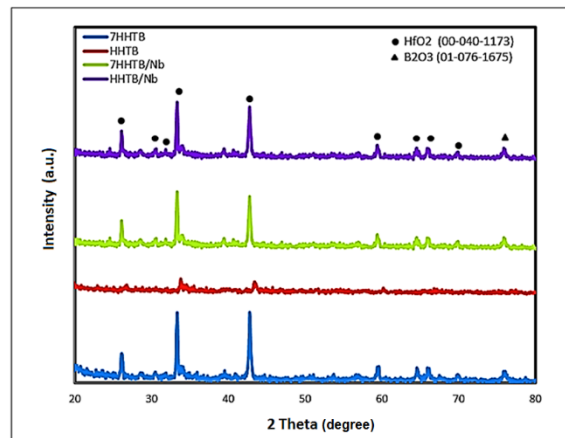
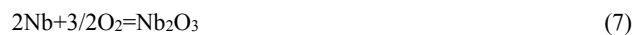
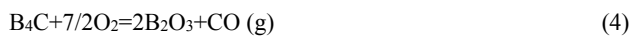
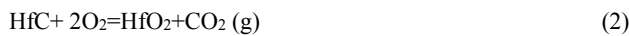


Figure 2: X-ray diffraction patterns of composite samples after oxidation at 1200 °C for 20 minutes.

On the one hand, the formation and growth of protective oxide layers cause an increase in the weight of the oxidized sample, and on the other hand, the formation of gas phases that exit the sample causes a decrease in the sample. The result of this increase and decrease in weight is given in the form of curves of percentage changes in weight depending on temperature in Figure 3. As is clear from Figure 3, in the equal molar ratio of the components, an increase in weight occurred, and in the ratio of 7:1:1:1, a weight decrease occurred during heating in the presence of an oxidizing atmosphere. It seems that in the HHTB and HHTB/Nb samples, the oxidation resistance has improved with the formation of protective oxide layers. Also, in the ratio of 7:1:1:1, the presence of niobium has improved the oxidation resistance. In this way, in the 7HHTB/Nb sample, the weight loss has decreased compared to the 7HHTB sample.

Figure 4 presents the weight change curves and their derivatives with respect to temperature. In the 7HHTB and 7HHTB/Nb samples, a weight loss is observed at a temperature of about 750 °C, which, according to the results reported by Aifer [6], is related to the oxidation of B₄C and the formation of the CO₂ gas phase. A similar trend occurs during the oxidation of HfB₂. This means that HfB₂ reacts with oxygen according to equation (1) and produces HfO₂ and B₂O₃. The formed B₂O₃ evaporates and leaves the sample, similar to what was said for B₄C, and as a result, causes a weight loss. In general, it can be concluded that in compounds containing boron (such as HfB₂ and B₄C) and during their oxidation process, the volatile compound B₂O₃ is formed, the oxidation of the sample is accompanied by a weight loss.

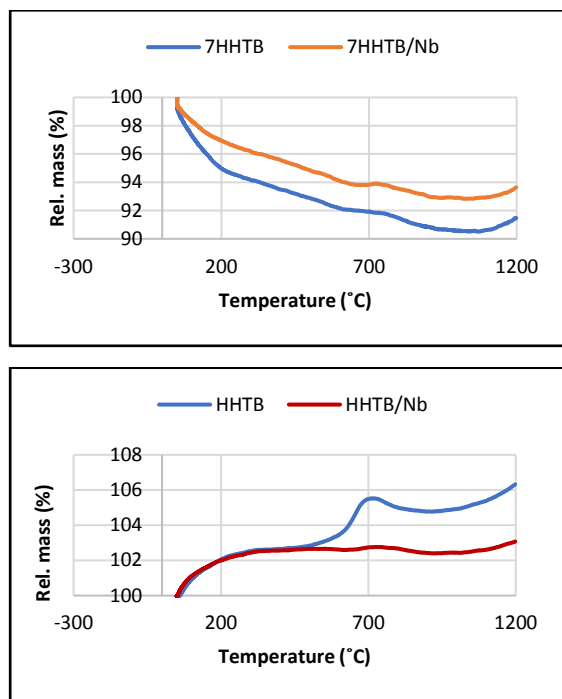


Figure 3: Percentage weight change curves of oxidized samples depending on temperature.

DTA tests were performed from 50 to 1200 °C at a heating rate of 15 °C/min in an oxidizing atmosphere. The DTA curves show that the exothermic reaction of B₄C oxidation and the formation of B₂O₃ (liquid) and CO₂ (gas) occurs at low temperatures (about 650 to 750 °C). Also, according to the temperature difference curves in Figure 5, in the sample containing 25 mol% B₄C, the heat of oxidation reaction is much higher than that of the sample containing 10 mol%. The values of the heat of reaction, or in other words, the heat released due to the oxidation reaction, are calculated from the area under the peak related to the exothermic reactions. In the DTA curves in Figure 5, the baseline is not flat before the thermal event is due to the difference in heat capacity and thermal conductivity of the unknown sample and the control sample during the temperature difference test. By choosing a suitable control sample, this deviation from the baseline can be minimized.

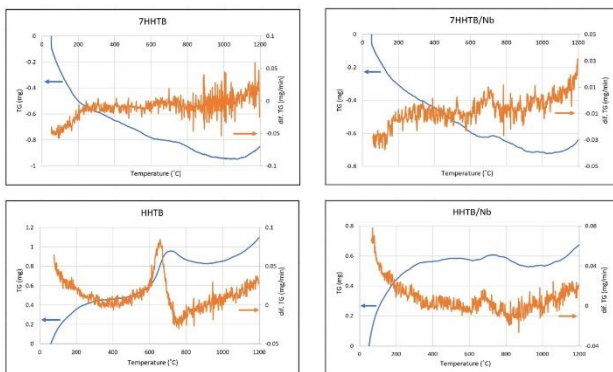


Figure 4: Weight change curves and derivative of weight change of oxidized samples with respect to temperature.

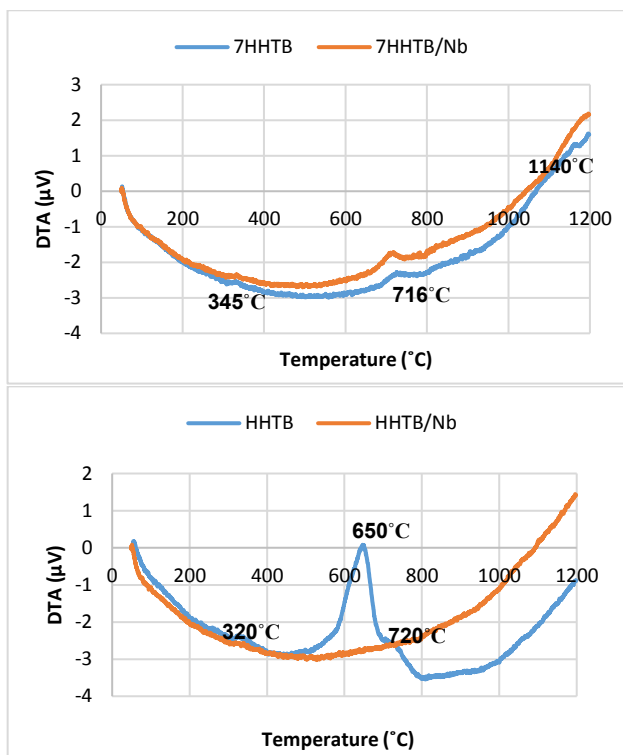


Figure 5: Differential thermal analysis curves of oxidized samples according to temperature.

4- Conclusion

- 1- In samples with a molar ratio of 7:1:1:1, due to the higher amount of boride compounds, the weight change trend is decreasing and in samples with an equal ratio, it is increasing.
- 2- Considering the amount of weight change in samples with an equal ratio (HHTB is 1.6% and in the HHTB/Nb sample is 3%) compared to samples with a molar ratio of 7:1:1:1, (8.5% in the 7HHTB sample and 6.2% in the 7HHTB/Nb sample), it was concluded that the oxidation resistance is higher in equal ratios.
- 3- It is clear that the presence of niobium in both series of samples (equal ratio of compounds and ratio 7:1:1:1) has improved the oxidation resistance.
- 4- The sample containing niobium with an equal molar ratio (HHTB/Nb) showed the highest oxidation resistance.
- 5- In all samples, an exothermic peak was observed in the range of 650 to 800 °C, which is due to the oxidation of HfC and B₄C compounds.



*HfB₂-HfC-TiC-B₄C مقاومت به اکسیداسیون کامپوزیت چهار جزئی

مقاله پژوهشی

پریسا چناری^(۱) زهره بلک^(۲) وحیده شاهدی فر^(۳)

DOI: 10.22067/jmme.2025.89633.1155

چکیده در این پژوهش به بررسی مقاومت به اکسایش کامپوزیت های چهار جزئی HfB₂-HfC-TiC-B₄C با نسبت مولی برابر (۱:۱:۱:۱) و نسبت ۱:۷:۱:۱ دو درصد وزنی نایوبیوم و بدون آن پرداخته شده است. برای این منظور چهار کامپوزیت HfB₂-HfC-TiC-, HfB₂-HfC-TiC-B₄C/Nb, HfB₂-HfC-TiC-B₄C و HfB₂-HfC-TiC-B₄C/Nb به روش پلاسمای جرقه‌ای در دمای ۲۰۰۰°C، زمان نگهداری ۲۵ دقیقه و فشار ۳۵ مگاپاسکال تفجیوشی شدند. بررسی مقاومت به اکسایش نمونه‌ها در دمای ۱۲۰۰°C و زمان ماندگاری ۲۰ دقیقه، به روش TG و DTA همزمان انجام شد. شناسایی فاز و بررسی‌های ریزساختاری به ترتیب با روش‌های تفرق اشعه X (XRD) و میکروسکوپ الکترونی رویشی (SEM) انجام شد. نتایج نشان داد که پوسته اکسیدی تشکیل شده در تمامی نمونه‌ها HfO₂ می‌باشد. مشخص شد که نمونه‌های با نسبت مولی برابر دارای مقاومت به اکسایش بالاتری نسبت به نمونه‌های با نسبت ۱:۱:۷:۱ می‌باشند. حضور نایوبیوم نیز سبب تشکیل پوسته اکسیدی چگالت‌تر در مقایسه با نمونه بدون نایوبیوم شده و از این رو مقاومت به اکسایش را بهبود می‌بخشد.

واژه‌های کلیدی مقاومت به اکسایش، آنالیز حرارتی همزمان، سرامیک‌های فوق دما بالا، تفجیوشی پلاسمای جرقه‌ای.

Investigation of Oxidation Resistance of the HfB₂-HfC-TiC-B₄C Quaternary Composite

Parisa Chenari

Zohre Balak

Vahideh shahedifar

Abstract In this research, the oxidation resistance of HfB₂-HfC-TiC-B₄C four-component composites with equal ratio (1:1:1:1) and 7:1:1:1 ratio with 2 wt% niobium and without it has been investigated. For this purpose, four composites 70HfB₂-10HfC-10TiC-10B₄C, 70HfB₂-10HfC-10TiC-10B₄C/Nb, 25HfB₂-25HfC-25TiC-25B₄C, and 25HfB₂-25HfC-25TiC-25B₄C/Nb were sintered by the spark plasma (SPS) method at a temperature of 2000 °C, holding time of 25 min, under the pressure of 35 MPa. The oxidation resistance of the samples was investigated simultaneously at 1200 °C and 20 min holding time by Thermo-gravimetric analysis (TG) and DTA methods. Phase identification and microstructural investigations were done using X-ray diffraction (XRD) and scanning electron microscopy (SEM) methods. The results showed that the oxide scale formed in all samples is the HfO₂ phase. It was found that samples with an equal ratio (1:1:1:1) have higher oxidation resistance than samples with a 7:1:1:1 ratio. The presence of niobium also causes the formation of a denser oxide shell rather than without niobium, and thus improves oxidation resistance.

Keywords Oxidation resistance, Simultaneous thermal analysis, Ultra high temperature ceramic, Spark plasma sintering.

* تاریخ دریافت مقاله ۱۴۰۳/۶/۹ و تاریخ پذیرش آن ۱۴۰۴/۴/۷ می‌باشد.

(۱) دانشجوی دکتری، گروه مهندسی مواد، واحد اهواز، دانشگاه آزاد اسلامی، اهواز.

(۲) نویسنده مسئول، دانشیار، گروه مهندسی مواد، واحد اهواز، دانشگاه آزاد اسلامی، اهواز.

(۳) استادیار، گروه مهندسی و علم مواد، دانشکده فنی و مهندسی، دانشگاه ارومیه، ارومیه.

Email: zbalak1983@gmail.com

آن می شود. این امر در اثر تشکیل پوسته شیشه‌ای $B_2O_3-SiO_2$ رخ می دهد که در مقایسه با B_2O_3 تنها، ویسکوزتر و پایدارتر بوده و فشار بخار کمتری دارد [12-16]. نفوذ اکسیژن در این پوسته آمورف غنی از سیلیکا، به دلیل ویسکوزیته بالای آن، کم بوده و تا حداقل دمای $1600^{\circ}C$ در محیط‌های اکسیدکننده مقاوم می باشد [13,14]. یک مزیت دیگر این پوسته، سیالیت کافی آن برای پر کردن خلل و فرج‌ها یا ناپیوستگی‌ها (فضاهای خالی) موجود در بدنه ZrO_2 و HfO_2 و در نتیجه پوشش کامل سطح نمونه به دلیل قابلیت ترشوندگی عالی آن می باشد [15,16]. نفوذ اکسیژن حل شده در امتداد $B_2O_3-SiO_2$ نیمه جامد موجود در HfO_2 یا ZrO_2 متخالخل و محصولات اکسایش، به عنوان مرحله محدود کننده اکسایش تا دمای $1400^{\circ}C$ پیشنهاد شده است. در کامپوزیت‌های HfB_2-SiC ، آزادسازی محصولات فرار نقش مهمی را تا دمای $1350^{\circ}C$ دارد، در حالی که تقویت کننده SiC در دماهای بیش از $1400^{\circ}C$ مفید می باشد [17].

با توجه به اینکه از سویی دیبورایدهای فلزات واسطه همچون HfB_2 انتخاب جذابی برای کاربردهای بسیار دما بالا هستند و از سوی دیگر کاربیدهای آنها دارای نقطه ذوب بسیار بالا (حدود $3900^{\circ}C$ می باشند، در این پژوهش به بررسی مقاومت به اکسایش کامپوزیت بورایدی-کاربیدی چهارجزئی $HfB_2-HfC-TiC-B_4C$ پرداخته شده است. برای این منظور چهار کامپوزیت با نسبت‌های مولی $1:1:1:1$ و $1:1:1:7$ با افزودن ۲ درصد وزنی نایوبیوم و بدون افزودن آن به روش پلاسمای جرقه‌ای تفحوشی شدند. از آنجا که یکی از روش‌های ارزیابی مقاومت به اکسایش سرامیک‌ها، اندازه‌گیری تغییرات وزن آنها است، مقاومت به اکسایش نمونه‌های تفحوشی شده به روش گرمابزن سنجی (TGA) و آنالیز افتراق دمایی (DTA) (Thermogravimetric analysis) در دماهای بیش از $1200^{\circ}C$ همزمان، تا دمای $1400^{\circ}C$ مورد ارزیابی قرار گرفت.

براساس اطلاعات نویسنده‌گان این کامپوزیت چهار جزئی برای اولین بار ساخته شده و مقاومت به اکسایش آن مورد ارزیابی قرار گرفته است.

فعالیت‌های تجربی

برای انجام این پژوهش، ابتدا پودرهای اولیه HfB_2 (با میانگین

مقدمه

ترکیب‌هایی چون دیبورایدها، کاربیدها و نیتریدهای فلزات واسطه گروه چهارم و پنجم جدول تناوبی که دمای ذوب بالای $3000^{\circ}C$ دارند، با نام سرامیک‌های فوق دما بالا (UHTCs) شناخته می شوند. در میان خانواده سرامیک‌های فوق دما بالا، دیبورایدی‌ای مانند زیرکونیم دیبوراید (ZrB_2) و هافنیوم دیبوراید (HfB_2) دارای ترکیب منحصر به فردی از خواص مکانیکی و فیزیکی شامل نقطه ذوب بالا (دمای ذوب بالای $3000^{\circ}C$ ، هدایت الکتریکی و حرارتی زیاد، خთایی شیمیایی در مقابل فلزات مذاب و مقاومت به شوک حرارتی بالا می باشند. از این رو گرینه‌های جذاب‌تری برای کاربردهای سازه‌ای دما بالا در دماهای بالاتر یا مساوی $2000^{\circ}C$ هستند [1-3]. از بین دیبورایدهای فلزات انتقالی، ZrB_2 و HfB_2 به عنوان مناسب‌ترین کاندیدها برای کاربردهای دما بالا مانند کلاهک موشک، لبه‌های هدایت کننده تیز (Sharp leading edges)، تیغه‌ها و اهداف مشابه برای استفاده در جنگنده‌های سریع یا نسل‌های آینده آنها شناسایی شده‌اند [3-5]. پیوندهای کوالانسی قوی علت ایجاد نقطه ذوب بالا، مدول و سختی زیاد UHTC هاست. انرژی‌های آزاد منفی و با مقدار قدر مطلق بزرگ، همچنین موجب می شود تا پایداری شیمیایی و گرمایی HUTC ها، تحت بسیاری از شرایط محیطی افزایش یابد. مقاومت به اکسایش نسبتاً خوب ترکیبات دیرگذاز دیبورایدی، در مقایسه با سایر ترکیبات بین فلزی دیرگذاز در بسیاری از تحقیقات مورد توجه قرار گرفته است. مطالعات قبلی نشان می دهد که اکسایش هم دمای ZrB_2 بین $800^{\circ}C$ و $1100^{\circ}C$ نشان دهنده تشکیل ZrO_2 و یک لایه محافظ بیرونی B_2O_3 (مایع) است که نفوذ آنیون‌های اکسیژن به داخل را محدود می کند. البته در دماهای بیش از $1100^{\circ}C$ ، فشار بخار B_2O_3 به سرعت افزایش یافته و سبب تبخیر آن و تسريع نرخ اکسایش ZrB_2 و HfB_2 می شود. از آن جایی که HfO_2 و ZrO_2 نیمه هادی‌های آنیونی ناکارا با تهی جاهای اکسیژنی هستند، نفوذ آنیون‌های اکسیژنی در این اکسیدها می تواند قابل توجه و مهم باشد. از این رو، ZrB_2 و HfB_2 به صورت تک جزء برای کاربردهای دما بالا در سیستم‌های احتراق هوایپما به دلیل مقاومت به اکسایش نسبتاً کم آنها، مناسب نیستند. تقویت این سرامیک‌ها با TiC [6] B_4C [7] SiC [8] و HfC [9] مقاومت به اکسایش و خواص مکانیکی آنها را به طور قابل توجهی بهبود می دهد. حضور تقویت کننده SiC در کامپوزیت‌های سرامیکی پایه HfB_2 سبب کاهش نرخ اکسایش

۱۵ \square/min گرما داده شده و در ادامه در دمای نهایی به مدت ۲۰ دقیقه نگه داشته شدند. همچنین ریزساختار نمونه‌ها قبل و پس از اکسید شدن با میکروسکوپ الکترونی روشنی (SEM) مطالعه شدند. به علاوه، برای شناسایی فازهای اکسیدی تشکیل شده از آنالیز پراش پرتو ایکس (XRD) استفاده شد. پیش‌بینی و احتمال انجام واکنش‌های ترمودینامیکی نیز توسط نرم افزار HSC بررسی شد.

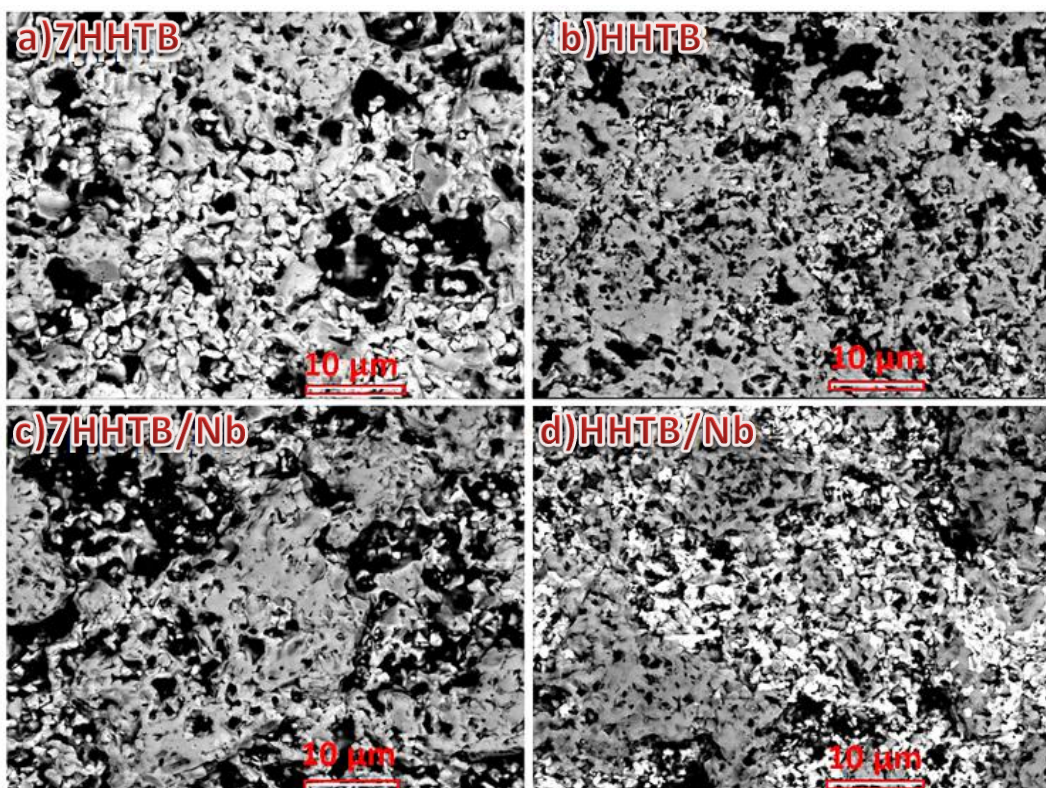
جدول ۱ کدگذاری نمونه‌ها براساس ترکیب شیمیایی

کد نمونه	ترکیب شیمیایی	چگالی تئوری فازها (g/cm^3)
HHTB	25 vol% HfB_2 -25 vol% HfC -25 vol% TiC -25 vol% B_4C	$\text{HfB}_2 : 10/5$
7HHTB	70 vol% HfB_2 -10 vol% HfC -10 vol% TiC -10 vol% B_4C	$\text{HfC} : 12/2$
HHTB/Nb	25 vol% HfB_2 -25 vol% HfC -25 vol% TiC -25 vol% B_4C -2 wt% Nb	$\text{TiC} : 4/93$
7HHTB/Nb	70 vol% HfB_2 -10 vol% HfC -10 vol% TiC -10 vol% B_4C -2wt%Nb	$\text{B}_4\text{C} : 2/5$

نتایج و بحث

در شکل (۱) ریزساختار تمامی نمونه‌های کامپوزیتی پس از فرآیند تفجوشی نشان داده شده است. مقادیر چگالی نسبی نمونه‌ها به روش ارشمیدس محاسبه و در جدول (۲) آورده شد. همانطور که مشاهده می‌شود نمونه HHTB/Nb نسبت به سایر کامپوزیت‌ها دارای ریزساختار متراکم تری بوده که با مقادیر چگالی نسبی به دست آمده برای آن همخوانی دارد (جدول ۲). در شکل (۲) نیز تصویر میکروسکوپ الکترونی روشنی نمونه HHTB/Nb به همراه نقشه توزیع عنصری عناصر هافنیوم، تیتانیوم، نایوبیوم و مخلوط آنها ارائه شده است. به وضوح مشاهده می‌شود که عناصر تیتانیوم و هافنیوم در ساختار بلوری یکدیگر نفوذ کرده و تشکیل محلول جامد داده‌اند.

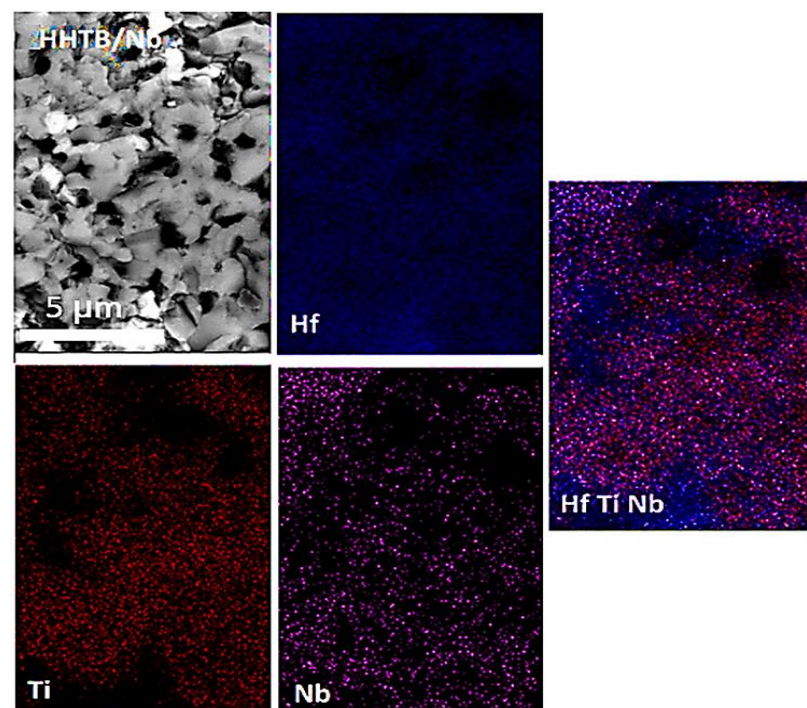
اندازه ذرات ۱ میکرومتر، HfC (با اندازه ذرات کوچکتر از ۱ میکرومتر)، TiC (با اندازه ذرات کوچکتر از ۱۰ میکرومتر)، و B_4C (با میانگین اندازه ذرات ۱۰ میکرومتر) و Nb (با اندازه ذرات ۱۵ میکرومتر) تهیه شدند. جزئیات بیشتر در مورد مواد اولیه در مقاله قبلی نویسنده‌گان ارائه شده است [۱۸]. سپس چهار کامپوزیت با ترکیب شیمیایی- ۷۰ vol% HfB_2 -10 vol% HfC -25 vol% HfB_2 -25 vol% HfC -10 vol% TiC -10 vol% B_4C ۷۰ vol% HfB_2 -10 vol% HfC -25 vol% TiC -25 vol% B_4C ۲۵ vol% HfB_2 -25 vol% HfC -10 vol% TiC -10 vol% B_4C ۲۵ vol% HfB_2 -25 vol% HfC -25 vol% TiC -25 vol% B_4C درصد وزنی نایوبیوم به روش پلاسمای جرقه‌ای تفجوشی شدند و به ترتیب به نامهای ۷HHTB/Nb، 7HHTB، 7HHTB/Nb، HHTB/Nb اولیه، فرآیند آسیاکاری به مدت سه ساعت در آسیای پرانژری سیارهای با محفظه و گلوله‌های از جنس کاربید تنگستن به صورت تر انجام شد. برای خشک کردن مخلوط پودری، دوغاب حاصل به مدت ۱۲ ساعت در خشک‌کن در دمای 80°C قرار گرفت. فرآیند تفجوشی نمونه‌ها با استفاده از روش پلاسمای جرقه‌ای در دمای 2000°C ، مدت زمان ماندگاری ۲۰ دقیقه و تحت فشار ۴۰ مگاپاسکال در قالب گرافیتی به قطر ۱۵ میلیمتر انجام شد. سپس برای ارزیابی‌های ریزساختاری و مقاومت به اکسایش، نمونه‌ها توسط سیم برش داده شدند. چگالی نسبی نمونه‌ها به روش ارشمیدس اندازه‌گیری شد. برای محاسبه چگالی تئوری نمونه‌ها با استفاده از چگالی تئوری هر فاز که در جدول (۱) ارایه شده است (اعداد چگالی تئوری از نرم افزار HSC استخراج شده است) و قانون اختلاط کامپوزیت‌ها، چگالی تئوری هر کامپوزیت محاسبه شد. سپس با تقسیم کردن چگالی بالک (که با استفاده از روش ارشمیدس به دست آمده است) بر چگالی تئوری، چگالی نسبی به دست آمد. برای ارزیابی رفتار حرارتی نمونه‌ها، از آنالیز حرارتی همزمان (STA) (Simultaneous thermal analysis) شامل آزمون‌های گرماآزن سنجی و افتراق دمایی در اتمسفر هوا با نرخ جریان $10 \text{ ml}/\text{min}$ استفاده شد. به این منظور نمونه‌ها از 50°C تا 1200°C با سرعت گرمادهی



شکل ۱ تصاویر میکروسکوپ الکترونی روبشی از ریزساختار نمونه‌های کامپوزیتی تفجوشی شده در 2000°C

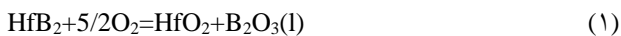
جدول ۲ مقدار چگالی نسبی نمونه‌های تفجوشی شده در 2000°C

نمونه	7HHTB/Nb	7HHTB	HHTB	7HHTB/Nb
چگالی نسبی (%)	99.2 ± 0.4	98.8 ± 0.5	97.7 ± 0.5	97.1 ± 0.3



شکل ۲ تصویر میکروسکوپ الکترونی روبشی نمونه HHTB/Nb به همراه نقشه توزیع عنصری عناصر هافیوم، تیتانیوم، نایوبیوم و مخلوط آنها

هافنیوم حل شده و قابل شناسایی نمی باشد.

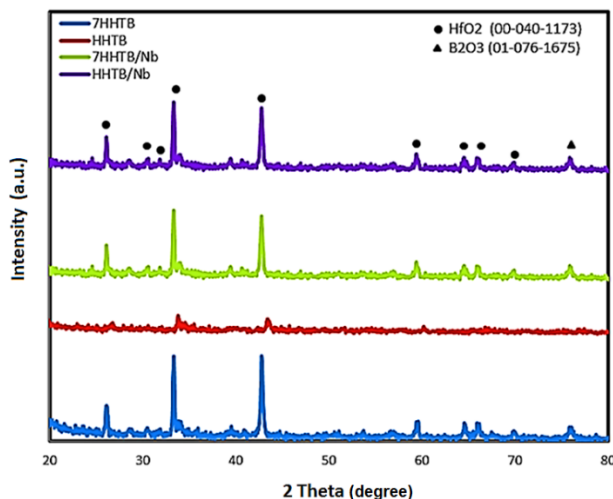


در شکل (۴) تصاویر SEM سطح مقطع نمونه‌ها پس از قرارگیری در معرض اتمسفر اکسید کننده به مدت ۲۰ دقیقه در دمای ۱۲۰۰ °C، در دو بزرگنمایی مختلف ارائه شده است. مشاهده می‌شود که در نمونه 7HHTB با نسبت ۱:۱:۷ (شکل ۴-الف و ب) نسبت به نمونه با نسبت حجمی برابر مقادیر زیادی تخلخل وجود دارد (با فلش‌های سفید رنگ در شکل مشخص شده‌اند) که ناشی از ریزساختار متخلخل‌تر تشکیل شده در نمونه 7HHTB نسبت به HHTB می‌باشد که در ادامه با جزئیات بیشتر بحث شده است.

همچنین مشاهده می شود که با افزودن نایوبیوم در نمونه 7HHTB/Nb نسبت به نمونه بدون نایوبیوم، میزان تخلخل ها به طور قابل توجهی کاهش یافته است (شکل ۴-ب و -د). به نظر می رسد که حضور نایوبیوم سبب پر شدن تخلخل ها و تشکیل پوسته های اکسیدی چگال تر و مقاوم به اکسایش بیشتر شده است که در ادامه به آن پرداخته شده است.

از سویی تشکیل و رشد لایه های اکسیدی محافظت سبب افزایش وزن نمونه اکسید شده می شوند و از سوی دیگر تشکیل فازهای گازی که از نمونه خارج می شوند، کاهش نمونه را به همراه دارند. برآیند این افزایش و کاهش وزن صورت گرفته، به صورت منحنی های درصد تغییرات وزن برحسب دما در شکل (۵) آورده شده است. همانطور که از شکل (۵) مشخص است، در نسبت مولی برابر ترکیبات، افزایش وزن اتفاق افتاده و در نسبت ۱:۱:۷ کاهش وزن در طی گرمادهی در حضور اتمسفر HHTB اکسیدکننده روی داده است. به نظر می رسد در نمونه های HHTB/Nb با تشکیل لایه های اکسیدی محافظت مقاومت به اکسایش بهبود یافته است. همچنین در نسبت ۱:۱:۷ حضور نایپریوم سبب بهبود مقاومت به اکسایش شده است. به اینصورت

الگوهای XRD تمامی نمونه‌ها پس از اکسایش تا 1200°C و نگهداری به مدت ۲۰ دقیقه در این دما در شکل (۳) ارائه شده اند. مشاهده می‌شود که در هر چهار نمونه، فازهای شناسایی شده شامل اکسید هافنیوم و اکسید بور می‌باشند. طبق مطالعات قرمودینامیکی توسط نرم افزار HSC، فازهای اولیه HfC , HfB_2 , B_4C , TiC و Nb در محدوده دمایی ذکر شده، طی واکنش‌های B_2O_3 , TiO_2 , HfO_2 و Nb_2O_5 می‌شوند. لازم به ذکر است که وجود فازهای اولیه مذکور در نمونه‌های تفجوشی شده، در مقاله قبلی نویسنده‌گان با آنالیز XRD تایید شده است [18]. در حالی‌که، در الگوهای XRD به دست آمده پس از اکسایش تنها فاز اکسیدی HfO_2 و به میزان اندکی فاز B_2O_3 شناسایی شد و هیچ یک از فازهای TiO_2 , Nb_2O_5 یا $\text{Nb}_{2\text{O}}_3$ تشخیص داده نشدند. با توجه به واکنش (۸) در دماهای بالاتر از 1100°C تغییر شده [9] و در نتیجه در ریزساختار نمونه‌ها، فاز اکسیدی B_2O_3 باقی نمانده و یا به میزان اندکی، باقی می‌ماند.

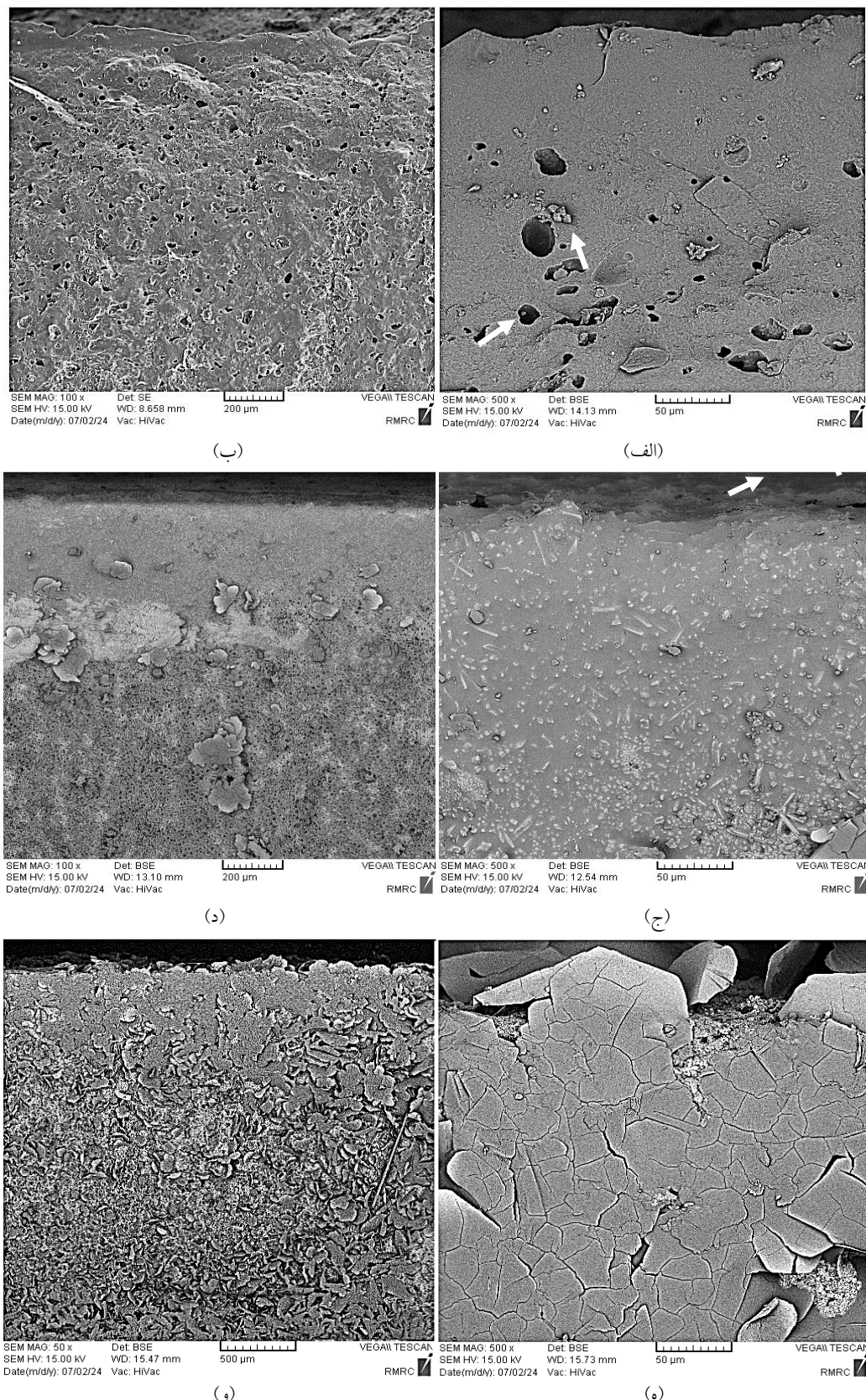


شکل ۳ الگوهای پراش اشعه X نمونه‌های کامپوزیتی پس از اکسایش در دمای 1200°C زمان نگهداری ۲۰ دقیقه

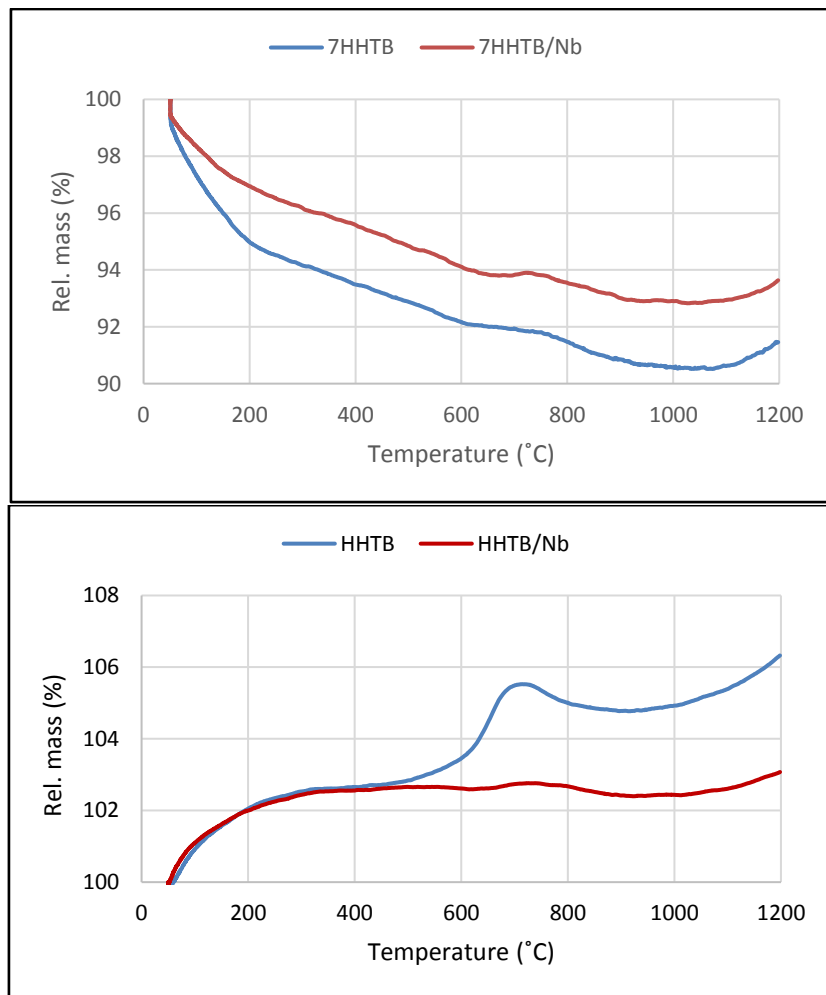
در مورد فازهای اکسیدی Nb_2O_3 یا Nb_2O_5 نیز با توجه به مقدار اندک ماده اولیه نایوبیوم (۲ درصد وزنی) امکان شناسایی این فازها با آنالیز XRD وجود ندارد. فاز اکسیدی TiO_2 نیز با توجه به اینکه TiC در شبکه بلوری HfB_2 و HfC نفوذ کرده و تشکیل محلول جامد می‌دهد [18]، از این روش طی فرآیند اکسایش در واقع محلول جامد اکسید شده و فاز اکسید تیتانیوم در اکسید

کاهش یافته است.

که در نمونه 7HHTB/Nb افت وزنی نسبت به نمونه



شکل ۴ تصاویر SEM از سطح مقطع نمونه‌های اکسید شده در دمای 1200°C به مدت ۲۰ دقیقه در دو بزرگنمایی مختلف، (الف) و (ب) نمونه 7HHTB، (ج) و (د) نمونه 7HHTB/Nb، (ه) و (و) نمونه 7HHTB/Nb



شکل ۵ منحنی های درصد تغییرات وزن نمونه های اکسید شده بر حسب دما

در شکل (۶) منحنی های تغییرات وزن و مشتق آنها بر حسب دما ارائه شده است. در نمونه های 7HHTB و 7HHTB/Nb در دمای حدود 750°C افت وزنی دیده می شود که با توجه به نتایج گزارش شده توسط آیفر [19] مربوط به اکسایش B_4C و تشکیل فاز گازی CO_2 می باشد.

مشابه این روند، طی فرآیند اکسایش HfB_2 رخ می دهد. به این معنی که HfB_2 طی معادله (۱) با اکسیژن واکنش داده و سبب تولید HfO_2 و B_2O_3 می شود. B_2O_3 تشکیل شده مشابه آنچه که برای B_4C گفته شد، تبخیر شده و از نمونه خارج می شود و در نتیجه کاهش وزن را موجب می شود. به طور کلی می توان نتیجه گیری کرد که در ترکیباتی که حاوی بور می باشند (مانند B_2O_3 و B_4C) و طی فرآیند اکسایش آنها، ترکیب فرار B_2O_3 و HfB_2 تشکیل می شود، اکسایش نمونه با کاهش وزن همراه است.

به گزارش ژانگ (Zhang) و همکاران [20] اکسایش HfC

برای بررسی علت روند افزایشی تغییرات وزن در نمونه های با نسبت مولی برابر نسبت به نمونه های با نسبت ۱:۱:۱:۱:۷، در ادامه به روند اکسایش سرامیک های HfC , HfB_2 , B_4C و TiC صورت تک جزیی پرداخته شده است. آیفر (Ayfar) و همکاران [19] مقاومت به اکسایش کاربید بور را در دماهای 600°C , 650°C و 700°C مورد بررسی قرار دادند. نتایج نشان داد که کاربید بور در دمای حدود 750°C طی واکنش های (۴) و (۵) شروع به اکسید شدن می کند (البته واکنش ۵ نسبت به واکنش ۴ مقدار ΔG کمتری دارد و قابل انجام تر است) و سبب تولید اکسید بور به همراه گاز CO_2 یا CO می شود. از آنجایی که اکسید بور دارای فشار بخار پایینی می باشد و جزء ترکیبات فرار است، شروع به تبخیر شدن نموده و از نمونه خارج می شود. تبخیر شدن اکسید بور کاهش وزن نمونه را طی فرآیند اکسایش به همراه دارد.

افزایش ترکیبات کاربیدی نسبت داد.

با توجه به درصد تغییرات وزن (شکل ۵)، در نمونه های با نسبت مولی برابر، (۱/۶٪ در نمونه HHTB و ۳٪ در نمونه HHTB/Nb) در مقایسه با نمونه های با نسبت ۱:۱:۱:۷ (۵/۸٪ در نمونه HHTB و ۲/۶٪ در نمونه Nb) مشخص است که ترکیبات با نسبت مولی برابر دارای مقاومت به اکسایش بالاتری می باشند. علت این امر را می توان ناشی از دو موضوع دانست: ۱) در ترکیبات با نسبت ۱:۱:۷:۱ به دلیل تشکیل ترکیب فرار B_2O_3 ، لایه اکسیدی HfO_2 تشکیل شده نسبت به نمونه های با ترکیب برابر متخلخل تر بوده و در نتیجه مسیرهای بیشتری برای نفوذ اکسیژن به سطح نمونه فراهم می باشد و در نتیجه طبق نظریه واگنر [23] سبب اکسایش بیشتر نمونه می شود. ۲) بیشتر بودن میزان محلول جامد تشکیل شده در نمونه های با نسبت مولی برابر نسبت به ترکیبات با نسبت ۱:۱:۷:۱.

به علاوه، در نسبت مولی ۱:۱:۷:۱ حضور نایوبیوم سبب بهبود مقاومت به اکسایش شده است، به اینصورت که در نمونه ۷HHTB/Nb افت وزنی نسبت به نمونه ۷HHTB/Nb اتفاق نمی آید. در نسبت های مولی برابر نیز همین روند مشاهده می شود به نحوی که حضور نایوبیوم سبب کاهش تغییرات وزنی و بهبود مقاومت به اکسایش شده است. به نظر می رسد حضور نایوبیوم در اکسیدهای تشکیل شده (TiO_2 ، HfO_2 و B_2O_3) در دو مورد اول سبب ایجاد پوسته اکسیدی چگال تر و در مورد سوم سبب جلوگیری از تبخیر شدن B_2O_3 می شود. طی فرآیند تفجوشی، نایوبیوم در ساختار بلوری HfB_2 ، HfC و TiC نفوذ کرده و سبب تشکیل محلول های جامد ($(Hf,Nb)C$ و $(Ti,Nb)C$) می شود. از این رو در مقایسه با نمونه های بدون نایوبیوم، پوسته های اکسیدی چگال تری تشکیل می شود که بهبود مقاومت به اکسایش را سبب می شود.

در مقایسه نمونه های حاوی نایوبیوم با یکدیگر، نمونه حاوی نایوبیوم با نسبت مولی برابر در مقایسه با نمونه با نسبت ۱:۱:۱:۷ مقاومت به اکسایش بهتری را از خود نشان می دهد به طوری که تغییرات وزنی آن برابر ۳٪ و در نمونه با نسبت ۱:۱:۷:۱ برابر ۶٪/۲ است. علت این موضوع را نیز می توان به میزان محلول جامد تشکیل شده بیشتر در نمونه با نسبت مولی برابر نسبت داد.

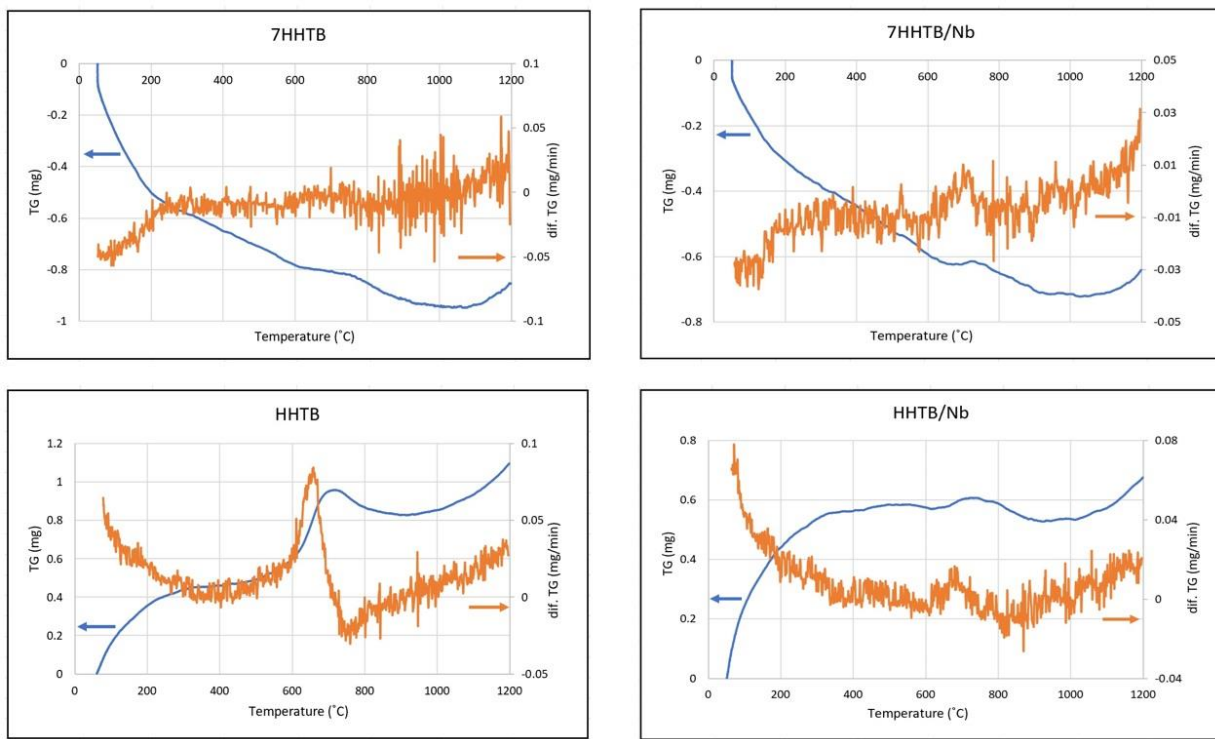
از 800°C طی واکنش (۲) شروع می شود و افزایش وزن آن تدریجی است. در درجه اکسایش کم، HfC توانایی جذب اکسیژن را بدون تبدیل به اکسید هافنیوم دارد. به این صورت که اکسیژن های حل شده در جاهای خالی کربن قربن می گیرند و یک لایه اکسی-کاربیدی تشکیل می شود. در حالی که، در درجه اکسایش زیاد تبدیل HfC به HfO_2 رخ داده و این تبدیل با تغییر حجم زیادی همراه نمی باشد [20]. برای بررسی این موضوع نمودار تغییرات فشار جزیی اکسیژن بر حسب دما برای HfC که با استفاده از نرم افزار HSC رسم شده، در شکل (۷) ارایه شده است. در تایید نظریه فوق، شیمادا (Shimada) نیز بیان می کند که در درجه اکسایش کمتر از 100°C درصد، فاز اکسی کاربیدی $HfC_{1-x}O_x$ یا HfO_2 بی شکل تشکیل می شود که فاز بی شکل در درجه اکسایش 100°C درصد به HfO_2 بلوری تبدیل می شود [21]. همچنین شیمادا ادعا می کند که افزایش درجه اکسایش به بیشتر از 100°C درصد به این معنی است که مقدار قابل توجهی کربن آزاد در محصولات اکسایش باقی مانده است. یعنی طبق واکنش زیر مقداری کربن اکسید نشده وجود دارد که باعث مشاهده افزایش وزن در منحنی های TGA می شود [21].



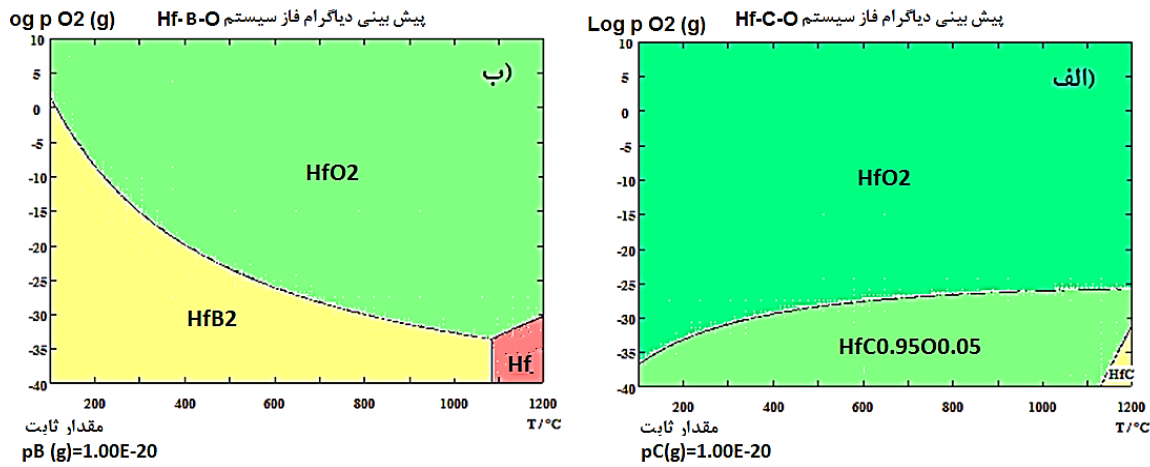
انرژی تشکیل HfO_2 از Hf برابر با $\Delta H^\circ = -1136 \text{ kJ/mol}$ در 800°C درجه کلوین و انرژی تشکیل CO_2 از C برابر با $\Delta H^\circ = -395 \text{ kJ/mol}$ است.

دو قله گرمaza در منحنی های DTA کاربید هافنیم مشاهده شد که قله در محدوده 580°C مربوط به واکنش اکسایش HfC و تشکیل HfO_2 و C است و قله دما بالاتر (750°C) مربوط به تشکیل CO_2 به خاطر اکسایش کربن آزاد است [21].

اکسایش TiC نیز با افزایش وزن همراه بوده و واکنش گرمازای آن در 500°C طی واکنش (۳) با تشکیل فاز اکسیدی TiO_2 (روتابیل) انجام می شود [22]. البته از آنجایی که در نتایج XRD اکسید تیتانیم شناسایی نشده است، پس نمی توان قله های مشاهده شده در منحنی های DTA را به تشکیل TiO_2 نسبت داد. روند کاهشی تغییرات وزن در نمونه ها با نسبت ۱:۱:۷:۱ به مقدار زیاد ترکیبات بورایدی (HfB_2 درصد حجمی ۱۰ درصد حجمی B_4C)، تشکیل فاز B_2O_3 و تبخیر آن و روند افزایشی در نمونه های با نسبت برابر به کاهش میزان این ترکیبات بورایدی از مجموع ۸۰ درصد حجمی به ۵۰ درصد حجمی و

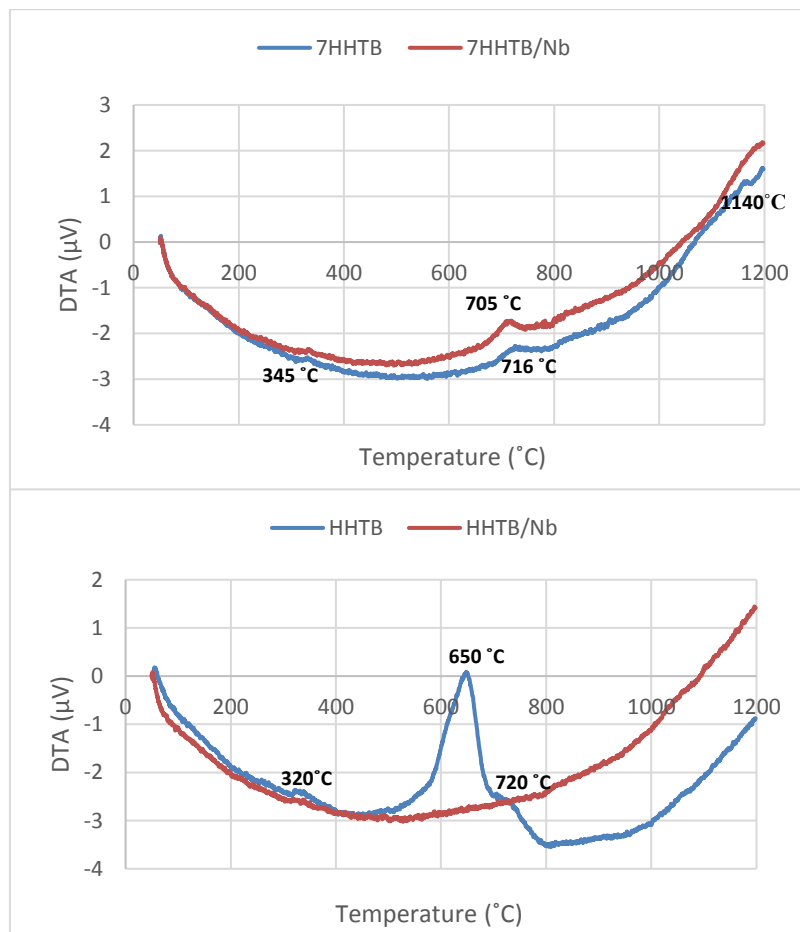


شکل ۶ منحنی های تغییرات وزن و مشتق تغییرات وزن نمونه های اکسید شده بر حسب دما

شکل ۷ نمودار لگاریتم تغییرات فشار جزئی اکسیژن بر حسب دما، (الف) HfB_2 , (ب) HfC

شده ناشی از واکنش اکسایش از سطح زیر قله مربوط به واکنش های گرمaza محاسبه می شوند. در منحنی های DTA شکل (۸) اینکه خط پایه پیش از انجام روش دارد حرارتی صاف نیست به دلیل اختلاف ظرفیت حرارتی و هدایت حرارتی نمونه مجھول و نمونه شاهد هنگام انجام آزمون افتراق دمایی می باشد. با انتخاب نمونه شاهد مناسب می توان این انحراف از خط پایه را به حداقل رسانند.

آزمون های DTA از دمای ۵۰ تا 1200°C با سرعت گرمادهی $15^{\circ}\text{C}/\text{min}$ در اتمسفر اکسید کننده انجام شدند. منحنی های DTA نشان می دهند که واکنش گرمaza اکسایش B_4C و تشکیل B_2O_3 (CO_2 (گاز) در دمای پایین (حدود 650°C تا 750°C) رخ می دهد. همچنین مطابق با منحنی های افتراق دمایی شکل (۸)، در نمونه شامل ۲۵ درصد مولی B_4C گرمای واکنش اکسایش بسیار بیشتر از نمونه حاوی ۱۰ درصد مولی می باشد. مقادیر گرمای واکنش یا به عبارتی گرمای آزاد



شکل ۸ منحنی های آنالیز حرارتی افتراقی نمونه های اکسید شده بر حسب دما

مشاهده شده که ناشی از اکسید شدن ترکیبات HfC و B_4C می باشد.

نتیجه گیری

واژه نامه

Spark plasma sintering (SPS)	تغجوشی پلاسمای جرقه‌ای
Sintering	سرامیک های فوق دما بالا
Ultra High Temperature Ceramics (UHTCs)	تغجوشی
Oxidation Resistance	مقاومت به اکسیداسیون
Thermal gravimetry Analysis	گرمابوzen سنجی
Differential Thermal Analysis	آنالیز افتراق دمایی همزمان
Bulk Density	چگالی بالک
Solid solution	محلول جامد
Diffusion	نفوذ
Densification	چگالش

۱. در نمونه های با نسبت مولی ۷:۱:۱:۱ به دلیل مقدار بیشتر ترکیبات بورایدی، روند تغییرات وزن کاهاشی و در نمونه های با نسبت برابر به صورت افزایشی است.

۲. با توجه به میزان تغییرات وزن در نمونه های با نسبت برابر HHTB/Nb برابر ۶/۱٪ و در نمونه HHTB برابر ۳/۰٪ در مقایسه با نمونه های با نسبت مولی ۱:۱:۱:۱٪ در نمونه ۷HHTB و ۶/۶٪ در نمونه ۷HHTB/Nb (7HHTB/Nb) نتیجه گیری گردید که در نسبت های برابر مقاومت به اکسایش بیشتر است.

۳. مشخص که حضور نایوبیوم در هر دو سری نمونه ها (نسبت برابر ترکیبات و نسبت ۱:۱:۱:۱٪) سبب بهبود مقاومت به اکسایش شده است.

۴. نمونه حاوی نایوبیوم با نسبت مولی برابر (HHTB/Nb) بیشترین مقاومت به اکسایش را از خود نشان داد.

۵. در تمامی نمونه ها در محدوده ۶۵۰ تا ۸۰۰°C یک قله گرمایش

آنالیز پراش اشعه پرتو ایکس	Open porosity	تحلخل باز
X-ray diffraction analysis (XRD)	Identify phases	شناسایی فازها
طیف سنجی پراکندگی انرژی پرتو ایکس	Microstructure	ریزساختار
Energy dispersive X-ray spectroscopy analysis (EDS)	ability Sinter	قابلیت تفحوشی
Thermal Shock Resistance	Sharp Leading Edge	بهای هدایت کننده تیز
Exothermic	Holding time	زمان نگهداری
	milling	آسیاکاری
تقدیر و تشکر		میکروسکوپ الکترونی روبشی
		Scanning electron microscope (SEM)

مراجع

- [1] M. Kheyrollazadeh, Z. Balak, M. Azizieh, and M. S. Asl, “Effect of TaC and graphene nanoplatelets on the microstructure and mechanical properties of ZrB₂,” *Diamond and Related Materials*, vol. 139, p. 110345, 2023. <https://doi.org/10.1016/j.diamond.2023.110345>
- [2] V. Savari, Z. Balak, and V. Shahedifar, “Combined and alone addition effect of nano carbon black and SiC on the densification and fracture toughness of SPS-sintered ZrB₂ ,” *Diamond and Related Materials*, vol. 128, p. 109244, 2022. <https://doi.org/10.1016/j.diamond.2022.109244>
- [3] E. Dodi, Z. Balak, and H. Kafashan, “HfB₂ -doped ZrB₂ -30 vol.% SiC composites: Oxidation resistance behavior,” *Materials Research Express*, vol. 8, no. 4, p. 045605, 2021. <https://doi.org/10.1088/2053-1591/abdf1a>
- [4] A. Hanifi and Z. Balak, “Effect of microstructure, chemical composition, and open porosity on oxidation resistance of ZrB₂ -based composites,” *Advanced Ceramics Progress*, vol. 6, no. 4, pp. 37–44, 2020. <https://doi.org/10.30501/acp.2020.204582.1043>
- [5] M. Ghasilzadeh Jarvand and Z. Balak, “Oxidation response of ZrB₂ –SiC–ZrC composites prepared by spark plasma sintering,” *Synthesis and Sintering*, vol. 2, no. 4, pp. 191–197, 2022. <https://doi.org/10.53063/synsint.2022.24134>
- [6] T. Rong, L. Nian, L. Qizhong, Z. Song, Z. Lianmeng, and G. Takashi, “Effect of microstructure on mechanical, electrical and thermal properties of B₄ C–HfB₂ composites prepared by arc melting,” *Journal of the European Ceramic Society*, vol. 36, no. 16, pp. 3929–3937, 2016. <https://doi.org/10.1016/j.jeurceramsoc.2016.06.049>
- [7] N. Abdel-Karim, Z. Balak, and M. Shahedi Asl, “Fabrication and characterization of HfB₂ -based composites in the presence of TiC and CNT,” *Materials Chemistry and Physics*, vol. 287, p. 126244, 2022. <https://doi.org/10.1016/j.matchemphys.2022.126244>
- [8] W. Sun, Y. Tian, S. Xu, L. Liu, and Y. Lu, “Powder synthesis, densification, microstructure, and mechanical properties of HfB₂ –HfC ceramic composites,” *International Journal of Applied Ceramic Technology*, vol. 21, no. 1, pp. 195–206, 2024. <https://doi.org/10.1111/ijac.14283>
- [9] M. Mallik, K. K. Ray, and R. Mitra, “Oxidation behavior of hot pressed ZrB₂ –SiC and HfB₂ –SiC composites,” *Journal of the European Ceramic Society*, vol. 31, no. 1, pp. 199–215, 2011. <https://doi.org/10.1016/j.jeurceramsoc.2010.08.018>
- [10] W. G. Fahrenholtz, “The ZrB₂ volatility diagram,” *Journal of the American Ceramic Society*, vol. 88, no. 12, pp. 3509–3512, 2005. <https://doi.org/10.1111/j.1551-2916.2005.00599.x>

- [11] M. M. Opeka, I. G. Talmy, E. J. Wuchina, J. A. Zaykoski, and S. J. Causey, “Mechanical, thermal, and oxidation properties of refractory hafnium and zirconium compounds,” *Journal of the European Ceramic Society*, vol. 19, no. 13, pp. 2405–2414, 1999. [https://doi.org/10.1016/S0955-2219\(99\)00129-3](https://doi.org/10.1016/S0955-2219(99)00129-3)
- [12] D. Sciti, M. Brach, and A. Bellosi, “Long-term oxidation behavior and mechanical strength degradation of a pressurelessly sintered ZrB_2-MoSi_2 ceramic,” *Scripta Materialia*, vol. 53, no. 11, pp. 1297–1302, 2005. <https://doi.org/10.1016/j.scriptamat.2005.07.026>
- [13] M. Opeka, I. Talmy, and J. Zaykoski, “Oxidation-based materials selection for 2000°C + hypersonic aerosurfaces: Theoretical considerations and historical experience,” *Journal of Materials Science*, vol. 39, pp. 5887–5904, 2004. <https://doi.org/10.1023/B:JMSC.0000041686.21788.77>
- [14] E. Wuchina, M. Opeka, S. Causey, K. Buesking, J. Spain, A. Cull, J. Routhbort, and F. Guitierrez-Mora, “Designing for ultrahigh-temperature applications: The mechanical and thermal properties of HfB_2 , HfC_x , HfN_x , and $\alpha Hf(N)$,” *Journal of Materials Science*, vol. 39, no. 19, pp. 5939–5949, 2004. <https://doi.org/10.1023/B:JMSC.0000041690.06117.34>
- [15] P. Hu, W. Guolin, and Z. Wang, “Oxidation mechanism and resistance of ZrB_2-SiC ,” *Corrosion Science*, vol. 51, no. 11, pp. 2724–2732, 2009. <https://doi.org/10.1016/j.corsci.2009.07.005>
- [16] J. Li, T. J. Lenosky, C. J. Först, and S. Yip, “Thermochemical and mechanical stabilities of the oxide scale of ZrB_2+SiC and oxygen transport mechanisms,” *Journal of the American Ceramic Society*, vol. 91, no. 5, pp. 1475–1480, 2008. <https://doi.org/10.1111/j.1551-2916.2008.02319.x>
- [17] T. A. Parthasarathy, R. A. Rapp, M. Opeka, and R. J. Kerans, “A model for the oxidation of ZrB_2 , HfB_2 and TiB_2 ,” *Acta Materialia*, vol. 55, no. 17, pp. 5999–6010, 2007. <https://doi.org/10.1016/j.actamat.2007.07.027>
- [18] P. Chenari, Z. Balak, and V. Shahedifar, “Investigation of microstructure and mechanical properties of $HfB_2-HfC-TiC-B_4C$ composites,” *Materials Chemistry and Physics*, vol. 341, p. 130927, 2025. <https://doi.org/10.1016/j.matchemphys.2024.130927>
- [19] A. Kılıçarslan, F. Toptan, I. Kerti, and S. Piskin, “Oxidation of boron carbide particles at low temperatures,” *Materials Letters*, vol. 128, pp. 224–226, 2014. <https://doi.org/10.1016/j.matlet.2014.04.138>
- [20] C. Zhang, A. Loganathan, B. Boesl, and A. Agarwal, “Thermal analysis of tantalum carbide-hafnium carbide solid solutions from room temperature to 1400 °C,” *Coatings*, vol. 7, no. 8, p. 111, 2017. <https://doi.org/10.3390/coatings7080111>
- [21] S. Shimada, “A thermoanalytical study on the oxidation of ZrC and HfC powders with formation of carbon,” *Solid State Ionics*, vol. 149, no. 3, pp. 319–326, 2002. [https://doi.org/10.1016/S0167-2738\(02\)00180-7](https://doi.org/10.1016/S0167-2738(02)00180-7)
- [22] S. Shimada, “A thermoanalytical study of oxidation of TiC by simultaneous TGA-DTA-MS analysis,” *Journal of Materials Science*, vol. 31, no. 3, pp. 673–677, 1996. <https://doi.org/10.1007/BF00367884>
- [23] N. Birks, G. H. Meier, and F. S. Pettit, *Introduction to the high temperature oxidation of metals*, Cambridge University Press, 2006. <https://doi.org/10.1017/CBO9781139163903>